

VÉKONYFALÚ, FELFÜGGESZTETT GERENDÁK KIFORDULÁSA

KOLLÁR LAJOS

A MŰSZAKI TUDOMÁNYOK DOKTORA

BUDAPESTI VÁROSÉPÍTÉSI TERVEZŐ VÁLLALAT

és

GÁRDONYI ZOLTÁN

UVATERV ÚT- ÉS VASÚTTERVEZŐ VÁLLALAT

[Beérkezett 1966. április 18-án]

A dolgozat vékonyfalú, két végén felfüggesztett gerendák kifordulást okozó terhét határozza meg a rugalmasságtan energia-módszere alapján. Az eljárás tetszőleges keresztmetszetű és terhelésű gerendákra alkalmazható. Szerzők azonban csak egyenletesen terhelt olyan gerendákra mutatják be az eljárás alkalmazását, amelyek keresztmetszetének a nyomott felső oldalon szabad széle van. Szabad és diafragmás végű gerendák kifordító terhére képleteket vezetnek le, s megvizsgálják, hány tagú alakváltozás-függvényt kell felvenni kellően pontos eredmény eléréséhez. A szimmetrikus alakváltozáson felül az antimetrikus alakváltozás lehetőségét is megvizsgálják. Végül összehasonlító számpéldát mutatnak be.

I. Bevezetés

1.1. A feladat leírása

Egyenestengelyű, vékonyfalú, egyszeresen szimmetrikus, nyitott keresztmetszetű gerendák (1. ábra) kifordulását fogjuk vizsgálni az energia-módszer segítségével. A bemutatandó módszer változó keresztmetszet és a gerenda tengelye mentén tetszőleges törvény szerint megoszló teher esetére is érvényes, de ebben a dolgozatban csak állandó keresztmetszetű és falvastagságú, egyenletesen megoszló teherrel terhelt gerendák esetét tárgyaljuk.

A gerenda a két végén fel van függesztve és a felfüggesztési pontok összekötő egyenese körül szabadon elfordulhat. Ez a támasztásmód megfelel az előregyártott gerendák beemelési állapotának.

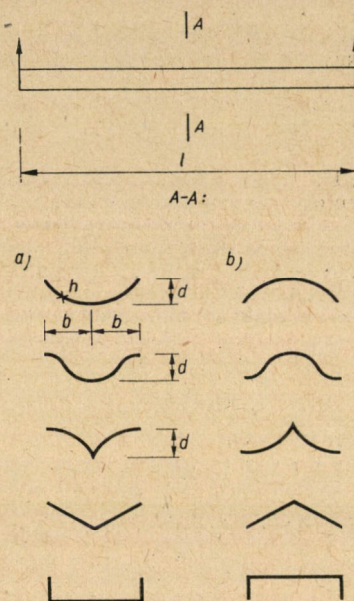
1.2. Irodalmi áttekintés

Vékonyfalú, tetszőleges teherrel terhelt gerendák kifordulásának egyenleteit Chwalla [3] vezette le, de csak az ún. „villás megtámasztás” esetére, (Ez olyan kényszerrel jelent, mely megakadályozza a végkeresztmetszetek elcsavarodását, de mind függőleges, mind vízszintes síkban lehetővé teszi az elfordulást.) Chwalla alapján Meissner [9] több konkrét esetet oldott meg.

Felfüggesztett gerendák kifordulását először Csonka vizsgálta [4, 2], de csak derékszögű négyszög keresztmetszet esetére. Ismeretes azonban, hogy a vékonyfalú gerendák viselkedése nagymértékben eltér a derékszögű négyszög-

keresztmetszetűekétől, egyrészt, mivel nyírasközéppontjuk kiesik a súlypontból, másrészt, mivel a keresztmetszet vékonyfalú volta is megváltoztatja az erőjátékot.

Lebelle [7] megoldotta a felfüggesztett aszimmetrikus I-tartók kifordulásának problémáját, de levezetése az I-tartó különleges tulajdonságaira épül, így nem általánosítható az 1. ábrán vázolt keresztmetszetű gerendákra.



1. ábra

1.3. Új eredmények

Dolgozatunk a következőkben ad újat az eddigi eredményekhez képest:

a) a két végén *felfüggesztett* gerenda kritikus hajlítónyomatékát *általános vékonyfalú keresztmetszet* esetére is meghatározza,

b) megoldja a feladatot a két végén *diafragmával* merevített gerenda esetére is,

c) kimutatja, hogy a számítás során *nem elég csak egy tagot* figyelembe venni az alakváltozásfüggvény Fourier-sorából.

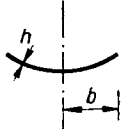
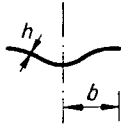
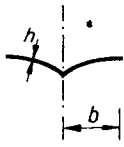
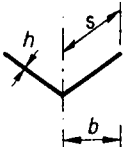
1.4. Feltevések

a) A gerenda *anyaga* tökéletesen rugalmas;

b) a gerenda *keresztmetszete* vékonyfalú, nyitott, szimmetrikus, alakja kifordulás közben is változatlan marad;

- c) a gerenda *hajlítási merevsége* a függőleges síkban olyan nagy, hogy a gerendatengelynek a kifordító teher-okozta meggörbülése elhanyagolható;
 d) a *teher* függőleges, s a gerenda szimmetriasíkjában, tetszőleges magasságban hat. Keresztirányú eloszlását nem kötjük meg, de feltételezzük, hogy a

I. táblázat

A keresztmetszet alakja:	Keresztirányú hajlítónyomáték a szimmetriasíkban:	Maximális nyírófeszültség a súlyponti tengelyben:
Lapos körív (parabola): 	$d \bar{I} - 0,1875 pb^2$	$0,722 pl \frac{b}{dh}$
Lapos hullám: 	$d \bar{I} - 0,405 pb^2$	$0,638 pl \frac{b}{dh}$
Lapos szárny: 	$d \bar{I} - 0,750 pb^2$	$0,722 pl \frac{b}{dh}$
Meredek \checkmark : 	$d \bar{I} - 0,50 pbs$	$0,75 pl \frac{s}{dh}$

belőle származó keresztirányú hajlítás nem deformálja számottevően a keresztmetszet alakját, s így az eredeti keresztmetszet-alakkal számolhatunk.

e) A teher kifordulás közben is megtartja eredeti irányát.

Mint hogy a teher a valóságban többnyire a gerenda saját súlya, mely keresztirányban az ívhossz mentén egyenletesen oszlik meg, a gyakorlati számítás megkönnyítésére az I. táblázatban megadjuk néhány keresztmetszet esetére a középen ébredő keresztirányú hajlítónyomátékot az önsúly hatására.

A felületegységre jutó terhet p -vel jelöltük (kp/m^2). A körív-, hullám- és a szárny-keresztmetszet hajlítónyomátékát annak feltételezésével számítottuk

ki, hogy a keresztmetszet *lapos*, azaz ívhossza a vízszintes vetületével helyettesíthető. A keresztirányú hajlítónyomatékokat akkor tekintjük pozitívnak, ha az alsó szálaban okoz húzást. Az 1. ábra legalsó (U-) keresztmetszetét nem tüntettük fel, mivel az ismert, szilárdságtani módon egyszerűen számíthatjuk ki benne az igénybevételeket.

Ha az 1b. ábrának megfelelően *megfordítjuk* az I. táblázat gerenda-kérsztmetszeteit, a keresztirányú nyomaték megtartja negatív előjelét, azaz ismét az alsó szálaban okoz nyomást.

Nem foglalkozunk a gerendában ébredő membrán-nyírófeszültségek és keresztirányú hajlítónyomaték számításmódjával, mivel ezt a dongahéjakról szóló művek, pl. [8], részletesen tárgyalják.

2. Általános összefüggések

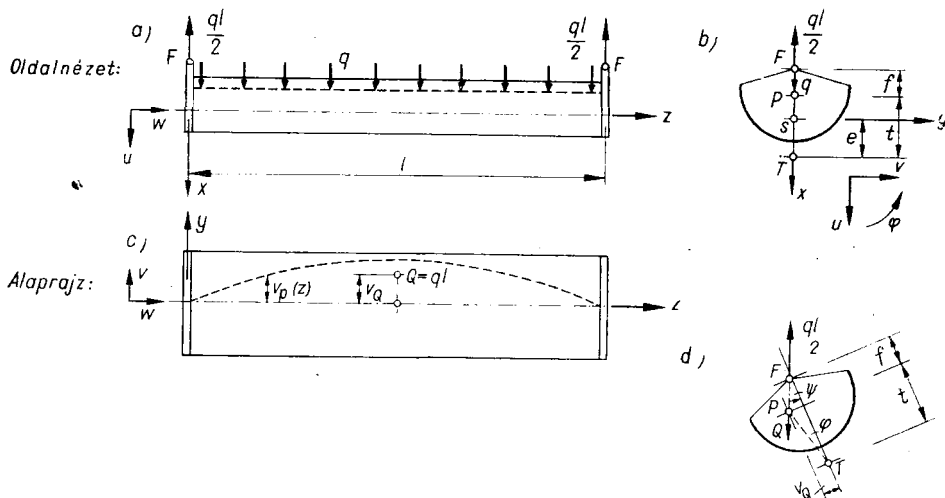
A levezetéshez szükséges jelöléseket a 2. ábrán tüntettük fel.

Az energia-módszerhez először is a kifordult tartó *belső és külső munkáját* kell felírunk. Ezeket a céljainknak legmegfelelőbb alakban úgy kaphatjuk meg, hogy a [6]-ban görbetengelyű ívekre felírt kifejezésekben az $1/R = 0$ helyettesítést végezzük.

2.1. A belső munka kifejezése

A belső munka képlete a következő lesz:

$$L_b = \frac{C}{2} \int_0^l \left(\frac{d\varphi}{dz} \right)^2 dz + \frac{C_1}{2} \int_0^l \left(\frac{d^2\varphi}{dz^2} \right)^2 dz + \frac{B_x}{2} \int_0^l \left(\frac{d^2 v_T}{dz^2} \right)^2 dz. \quad (1)$$



2. ábra

$$\begin{aligned}
 C &= GI_t \text{ a tartó csavarási merevsége,} \\
 C_1 &= EI_\omega \text{ a tartó gátolt csavarási merevsége} \\
 &\quad \text{a } T \text{ nyírasközéppontra vonatkozóan,} \\
 B_x &= EI_x \text{ a tartó vízszintes hajlítási merevsége,} \\
 &\quad \text{az } S \text{ súlyponton átmenő } x \text{ tengelyre vonatkozóan.}
 \end{aligned}$$

E három mennyiség értékét néhány keresztmetszetre a 3. ábrán adtuk meg.

$$\begin{aligned}
 \varphi &\text{ a keresztmetszetek elfordulása a } T \text{ nyírasközéppontjuk körül,} \\
 v_T &\text{ a } T \text{ nyírasközéppontok vízszintes eltolódása. (Vö. a 2. ábrával.)}
 \end{aligned}$$

2.2. A külső munka kifejezése

A külső munka kifejezését [6]-ban az ívtengely mentén állandó M_0 hajlítónyomatékra írtuk fel. Ez $1/R = 0$ helyettesítéssel így alakul:

$$L'_k = \frac{M_0}{2} \int_0^l \left[\left(2e - d \cdot j_x^0 - \frac{b^2 j_y^0}{d} \right) \cdot \left(\frac{d\varphi}{dz} \right)^2 - \frac{d\varphi}{dz} \cdot \frac{dv_T}{dz} \right] dz. \quad (2)$$

(Pozitív hajlítónyomatéknak ebben a dolgozatban azt tekintjük, amelyik az alsó szállban okoz húzást.)

j_x^0 és j_y^0 a keresztmetszet geometriai adataitól függő állandók, a következő definíciók szerint:

$$dj_x^0 = \frac{\int x^3 dF}{I_y}, \quad (3a)$$

$$\frac{b^2}{d} j_y^0 = \frac{\int xy^2 dF}{I_y}. \quad (3b)$$

Számértéküket a 3. ábrán adtuk meg. A (2) kifejezés jobb oldalán az integráljel alatt álló kifejezés a fajlagos hosszváltozásnak megfelelő $\partial w/\partial z$ mennyiséget jelenti (pontosabban: e mennyiségeknek a hajlítási feszültségeknek megfelelő integrált alakját a keresztmetszeten). Ha tehát változik az M hajlítónyomaték, akkor be kell vinni az integráljel alá, hogy így a z tengely mentén változó hajlítási feszültségeket mindig csak a neki megfelelő $\partial w/\partial z$ -vel szorozzuk meg. Minthogy csak egyenletesen megoszló teherrel foglalkozunk, a hajlítónyomaték a következő:

$$M = \frac{q}{2} (lz - z^2). \quad (4)$$

Ezt (2)-be helyettesítve, és a rövidség kedvéért bevezetve a

$$K_0 = 2e - dj_x^0 - \frac{b^2 j_y^0}{d} \quad (5)$$

jelölést, a következőt kapjuk:

$$L'_k = \frac{q}{4} \int_0^l (lz - z^2) \left[K_0 \left(\frac{d\varphi}{dz} \right)^2 - \frac{d\varphi}{dz} \frac{dv_T}{dz} \right] dz. \quad (6)$$

További külső munka származhatik abból, hogy a teher P támadáspontja (2. ábra) nem esik a nyírasközéppontba. Ilyenkor a keresztmetszet elfordulása közben a P pont is megváltoztatja a magasságát, mégpedig

$$t(1 - \cos \varphi) \approx \frac{t\varphi^2}{2}$$

mértékkel. Így a megoszló teher

$$L''_k = \frac{qt}{2} \int_0^l \varphi^2 dz \quad (7)$$

nagyságú külső munkát végez.

Végül még figyelembe kell vennünk azt a munkát is, amit a teher a tartónak az F felfüggesztési pont körüli elfordulása következtében végez.

A teher P támadáspontjainak összekötő egyenese a kifordulási φ és v_T alakváltozások következtében vízszintes síkban meggörbül. A P pontok vízszintes eltolódása tehát:

$$v_P = v_T - t \cdot \varphi, \quad (8)$$

esz. A külső teher $ql = Q$ eredője így e meggörbült vonal súlypontjában fog hatni, azaz

$$\frac{\int_0^l v_P dz}{l} = \frac{\int_0^l v_T dz - t \int_0^l \varphi dz}{l} = v_Q \quad (9)$$

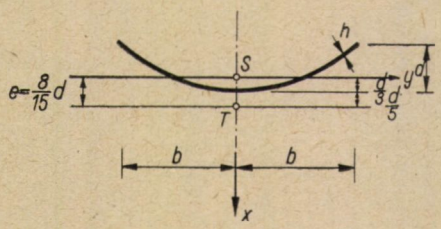
mértékkel tolódik el vízszintesen az eredeti helyéről. Minthogy a tartó a végkeresztmetszetek F pontjában van felfüggesztve, e pontok körül szabadon elfordulhat. Akkor ψ szöggel fog elfordulni, hogy a Q tehereredő éppen a felfüggesztési pontok függőlegesébe kerül vissza. Így a 2d. ábra alapján felírhatjuk, hogy

$$\psi = \frac{v_Q}{f}. \quad (10)$$

A külső teher munkája pedig e ψ elfordulás következtében

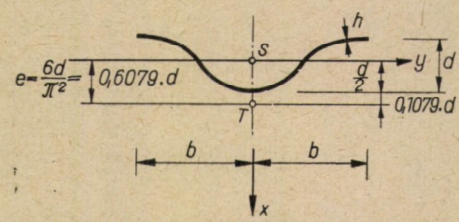
$$L'''_k = ql \cdot \left(\frac{f}{\cos \psi} \right) (1 - \cos \psi) \approx ql \cdot \frac{f\psi^2}{2} = ql \frac{v_Q^2}{2f}. \quad (11)$$

a) Lapos másodfokú parabola (körív):



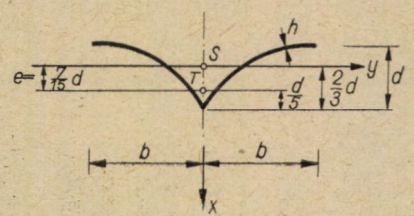
$$\begin{aligned}
 J_x &= 0,6667 \cdot h \cdot b^3 \\
 J_y &= 0,1778 \cdot h d^2 b \\
 J_{\omega} &= 0,00508 \cdot h d^2 b^3 \\
 J_z &= 0,6667 \cdot b h^3 \\
 j_x^0 &= -0,1905 \\
 j_y^0 &= -1
 \end{aligned}$$

b) Lapos hullámvonal (cosinus):



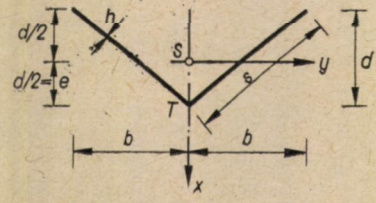
$$\begin{aligned}
 J_x &= 0,6667 \cdot h \cdot b^3 \\
 J_y &= 0,250 \cdot h d^2 b \\
 J_{\omega} &= 0,001596 \cdot h d^2 b^3 \\
 J_z &= 0,6667 \cdot b h^3 \\
 j_x^0 &= 0 \\
 j_y^0 &= -0,812
 \end{aligned}$$

c) Lapos szárny (2 db. 2f. parabólából összetéve):



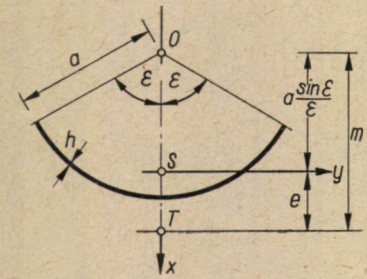
$$\begin{aligned}
 J_x &= 0,6667 \cdot h \cdot b^3 \\
 J_y &= 0,1778 \cdot h d^2 b \\
 J_{\omega} &= 0,00508 \cdot h d^2 b^3 \\
 J_z &= 0,6667 \cdot b h^3 \\
 j_x^0 &= +0,1905 \\
 j_y^0 &= -0,876
 \end{aligned}$$

d) Meredek v:



$$\begin{aligned}
 J_x &= \frac{2}{3} h b^2 s \\
 J_y &= \frac{1}{6} h d^2 s \\
 J_{\omega} &= \frac{h^2 s^3}{3} \\
 J_z &= \frac{2}{3} s h^3 \\
 j_x^0 &= 0 \\
 j_y^0 &= -1
 \end{aligned}$$

e) Meredek körív:



$$\begin{aligned}
 m &= 2a \frac{\sin \epsilon - \epsilon \cdot \cos \epsilon}{\epsilon - \sin \epsilon \cdot \cos \epsilon} \\
 J_x &= h a^3 (\epsilon - \sin \epsilon \cdot \cos \epsilon) \\
 J_y &= h a^3 (\epsilon + \sin \epsilon \cdot \cos \epsilon - 2 \frac{\sin^2 \epsilon}{\epsilon}) \\
 J_{\omega} &= \frac{2}{3} h a^3 \left[\epsilon^3 - \frac{6(\sin \epsilon - \epsilon \cdot \cos \epsilon)^2}{\epsilon - \sin \epsilon \cdot \cos \epsilon} \right] \\
 J_z &= \frac{2}{3} h a^3 \epsilon \\
 j_x^0 &= \frac{h a^4}{J_y} \left[\sin \epsilon + 3 \frac{\sin^2 \epsilon \cdot \cos \epsilon}{\epsilon} + \sin^2 \epsilon \left(\frac{2}{3} - \frac{4}{\epsilon^2} \right) \right] \\
 j_y^0 &= \frac{h a^4}{J_x} \left[\sin \epsilon - \frac{\sin^2 \epsilon \cdot \cos \epsilon}{\epsilon} - \frac{2}{3} \sin^3 \epsilon \right]
 \end{aligned}$$

f) Félkörív:

$$\begin{aligned}
 e &= 0,637 \cdot a \\
 j_x^0 d &= -0,153 \cdot a \\
 j_y^0 \frac{b^2}{d} &= -1,118 \cdot a
 \end{aligned}$$

$$\begin{aligned}
 J_x &= 1,571 \cdot h a^3 \\
 J_y &= 0,298 \cdot h a^3 \\
 J_{\omega} &= 0,0374 \cdot h a^5 \\
 J_z &= 1,047 \cdot h b^3
 \end{aligned}$$

3. ábra

(Ha a felfüggesztési pont végtelenül magasan van ($f = \infty$), a gerenda vége egyáltalán nem tud elcsavarodni ($L_k = 0$), vagyis megkapjuk a „villás” megtámasztást.)

A teljes külső munka kifejezése tehát a következő lesz:

$$L_k = \frac{q}{4} \int_0^l (lz - z^2) \left[K_0 \left(\frac{d\varphi}{dz} \right)^2 - \frac{d\varphi}{dz} \frac{dv_T}{dz} \right] dz + \frac{qt}{2} \int_0^l \varphi^2 dz + \frac{ql}{2f} v_Q^2, \quad (12)$$

ahol v_Q értékét a (9) képlet adja meg.

A belső és a külső munka (1) és (12) kifejezését egyenlővé téve, a kifordító terhet úgy határozhatjuk meg, hogy felvesszünk mind φ -re, mind v_T -re egy-egy, a peremfeltételeknek megfelelő függvényt (Fourier-sort), s az egyes függvénytagok együtthatói szerint minimalizáljuk a kifordító teher kifejezését. Az így kapott homogén lineáris egyenletrendszer determinánsát zérussal egyenlővé téve, annyiadfokú egyenlet adódik a kifordító teherre, amennyi a függvénytörökből figyelembe vett tagok száma [10].

3. Közelítések

3.1. Az oldallirányú meggörbülés elhanyagolása

Vizsgálataink szerint nem elegendő a két sornak csak egy-egy tagjára szorítkozni, ezért a számítás ily módon meglehetősen bonyolult lenne. Nagymértékben egyszerűsíthetjük azonban a feladatot a következő megfontolás alapján.

Előző vizsgálataink szerint [5], [6] állandó hajlítónyomaték és villásan megtámasztott gerenda ($f = \infty$) esetében igen jó eredményt kapunk az 1. ábrának megfelelő keresztmetszetekre azzal a közelítéssel is, hogy a gerenda vízszintes hajlítási merevségét, B_x -et (a C csavarási merevséghez képest) végtelen nagyra vesszük, azaz elhanyagoljuk a nyírás középponti tengely vízszintes síkú meggörbülését ($v_T = 0$), s csak az elcsavarodási alakváltozást vesszük figyelembe. Ennek azonban előfeltétele az, hogy a keresztmetszet szabad széle a hajlításból nyomást kapjon. Esetünkben a nyomófeszültség a keresztmetszet felső szélén keletkezik, tehát a $v_T = 0$ ($B_x/C = \infty$) közelítés csak az 1a. ábrának megfelelő keresztmetszetekre ad jó eredményt.

Ezenkívül még azt is figyelembe kell vennünk, hogy az [5]-ben tárgyalt állandó nyomatékhoz és villás megtámasztáshoz az általunk most vizsgált esetben az áll a legközelebb, ha a megoszló teher a nyírás középpontban hat

($t = 0$), s a felfüggesztési pont végtelenül magasan van ($f = \infty$). Így ugyanis mind L_k'' , mind L_k'''' zérus (lásd a (7) és a (11) képleteket), s csak a hajlítónyomatékból származó L_k' marad meg (6). Már most — egyelőre $f = \infty$ -t véve — a helyzet a következő. Ha t negatív, akkor az ennek megfelelő, vagyis a nyírás-középpont alatt ható teher (7) szerint negatív munkát végez, tehát gátolja az elcsavarodást, sőt, kellően nagy negatív t esetén teljesen meg is akadályozza; ha $L_k'' = -L_k'$, akkor a tiszta elcsavarodásból nem jöhet létre külső munka. Így végtelen nagyra adódnék a kifordító teher. Nyilvánvaló tehát, hogy negatív t esetében a valóságban mind nagyobb szerephez jut az elhanyagolt v_T alakváltozás, s ezzel együtt nő a v_T elhanyagolásából származó hiba is. Ha viszont t pozitív, akkor — ugyanezen gondolatmenet alapján — kisebb lesz v_T szerepe, mint a nyírás-középpontban ható teher esetén. Ezek alapján tehát tárgyalásunkban ismét csak az 1a ábra keresztmetszeteire szorítkozunk, ami önsúlyteher esetén pozitív t -nek, vagyis a nyírás-középpont felett ható teher esetének felel meg.

Az 1b ábra keresztmetszeteit tehát kizárjuk a további tárgyalásból.

Ha a felfüggesztési pont f magasságát csökkentjük, akkor ez (11) szerint szintén növeli a külső munkát, tehát a fenti gondolatmenet szerint várhatóan csökkenti, vagy legalábbis nem növeli a v_T elhanyagolásából származó hibát a villás megtámasztás ($f = \infty$) esetéhez képest [6].

Összefoglalva a mondottakat, a következőkben csak az 1a ábrának megfelelő keresztmetszetű gerendákkal, s csak a nyírás-középpont felett ható teher esetével foglalkozunk, viszont elhanyagoljuk a nyírás-középponti tengely meggörbülését a vízszintes síkban ($v_T = 0$), és a keresztmetszeteknek csak a nyírás-középpont körüli φ elfordulását vesszük figyelembe.

3.2. A peremfeltételek és a $\varphi(z)$ elcsavarodásfüggvény

Amint már a 2.2. pontbeli levezetésből is kitűnt, a felfüggesztés folytán a gerenda az F felfüggesztési pont körül merevtest-szerűen fordul el, s ezt a φ elfordulást különválasztva kezelhetjük a keresztmetszetek $\varphi(z)$ elcsavarodásától. Így a $\varphi(z)$ függvényt úgy vehetjük fel, mintha a gerendavégek „villásan” volnának megtámasztva, azaz a $z = 0$ és $z = l$ helyeken a $\varphi = 0$ feltétel ki-elégítésével.

A továbbiakban kétféle tartóvég-kialakítással foglalkozunk. Az első esetben a gerenda végkeresztmetszetei szabadok, azaz nem gátoljuk meg tengelyirányú alakváltozásukat (4a ábra); (itt az „összekötő rúd” csupán a felfüggesztésből származó keresztirányú nyomaték felvételére szolgál). Ebből az következik, hogy a végkeresztmetszetben nem ébred gátolt csavarási σ_z -feszültség, ami [10] szerint a

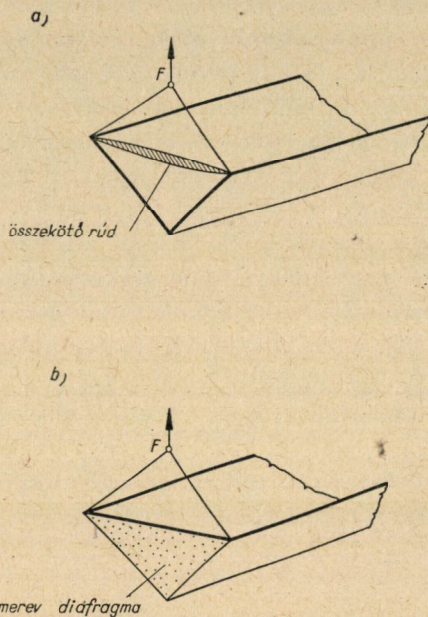
$$\frac{d^2\varphi}{dz^2} = 0 \quad (13)$$

feltétellel egyenértékű.

Ha viszont a gerenda két végét hajlításra is végtelenül merev diafragmával látjuk el (4b ábra), akkor ez [6] szerint megakadályozza a végkeresztmetszetek tengelyirányú alakváltozását (az „öblösödést”), ez pedig [10] szerint a

$$\frac{d\varphi}{dz} = 0 \quad (14)$$

feltétellel fejezhető ki.



4. ábra

Ennek megfelelően a φ elcsavarodásfüggvényt szabad tartóvég esetén szinuszos, diafragmás tartóvég esetén pedig koszinuszos sor formájában vehetjük fel.

4. Megoldás szimmetrikus alakváltozás esetére

4.1. A kifordító teher meghatározása szabad tartóvégek esetében

Az elcsavarodásfüggvényt a (13) peremfeltételnek megfelelően a

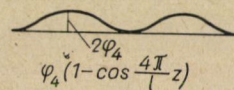
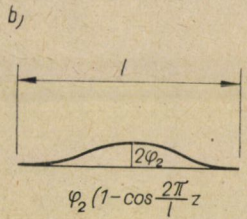
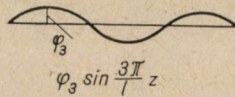
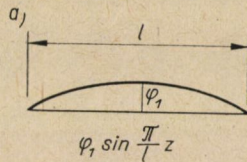
$$\varphi = \sum_n \varphi_n \cdot \sin \frac{n\pi}{l} z; \quad n = 1, 3, 5, \dots \quad (15)$$

sor alakjában vesszük fel (5a ábra). (Az antiszimmetrikus alakváltozást képviselő

páros sorszámú tagokat kihagytuk, mivel a levezetés során különválnak a szimmetrikus tagoktól és nagyobb kritikus terhet szolgáltatnak, lásd az 5. pontot.)

A belső munka (1) kifejezése az

$$L_b = \frac{C\pi^2}{4l} \sum_n n^2 \varphi_n^2 + \frac{C_1 \pi^4}{4l^3} \sum_n n^4 \varphi_n^2 ; \quad n = 1, 3, 5, \dots \quad (16)$$



5. ábra

eredményt szolgáltatja. A külső munkához szükséges v_Q eltolódás (9) szerint a következő lesz:

$$v_Q = -\frac{2t}{\pi} \sum_n \frac{\varphi_n}{n} ; \quad n = 1, 3, 5, \dots \quad (17)$$

Ezzel a külső munka (12) szerint így alakul (Vö. [10] 109. oldalával):

$$L_k = \frac{qK_0 l}{4} \left[\sum_n \varphi_n^2 \left(\frac{n^2 \pi^2}{12} - \frac{1}{4} \right) - 4 \sum_m \sum_n \varphi_m \varphi_n \frac{mn(m^2 + n^2)}{(m^2 - n^2)^2} \right] + \frac{qt l}{4} \sum_n \varphi_n^2 + ql \frac{2t^2}{\pi^2 f} \left(\sum_n \frac{\varphi_n}{n} \right)^2. \quad (18)$$

Az összegezésekből $n = 1, 3, 5, \dots$ és $m = 1, 3, 5, \dots$, de az m szerinti összegezésekből ki kell hagyni az $m = n$ tagokat és a kétfős összegben minden (m, n) kombinációt csak egyszer kell venni. Az energia-módszer szabályai szerint [10] most képeznünk kell a

$$\frac{\partial L_b}{\partial \varphi_n} - \frac{\partial L_k}{\partial \varphi_n} = 0$$

kifejezéseket. Ezek a következő lineáris egyenleteket szolgáltatják minden n -re ($n = 1, 3, 5, \dots$):

$$\begin{aligned} \varphi_n \left\{ n^2 \pi^2 \left(C + C_1 \frac{n^2 \pi^2}{l^2} \right) - 2M \left[K_0 \left(\frac{n^2 \pi^2}{3} - 1 \right) + 4t + \frac{32}{\pi^2 \cdot n^2} \frac{t^2}{f} \right] \right\} + \\ + 16 M \cdot K_0 \sum_m \frac{mn(m^2 + n^2)}{(m^2 - n^2)^2} \varphi_m - \frac{64}{\pi^2 \cdot n} M \frac{t^2}{f} \sum_m \frac{\varphi_m}{m} = 0. \end{aligned} \quad (19)$$

Itt a rövidség kedvéért bevezettük a

$$\frac{ql^2}{8} = M \quad (20)$$

jelölést. Az összegezésekből $m = 1, 3, 5, \dots$, de ki kell hagyni az $m = n$ tagot.

Ha mindegyik φ_n -re felírjuk a (19) egyenletet, az így kapott egyenletrendszer determinánsát 0-val egyenlővé téve a kritikus

$$M_{kr} = \frac{q_{kr} \cdot l^2}{8}$$

hajlítónyomatékra a φ sorából figyelembe vett tagok számával egyező fokszámú egyenletet kapunk.

Ha csak *egy tagot* veszünk, akkor $n = 1$, az m -es összeg pedig teljes egészében elmarad, s így a következő egyszerű összefüggés adódik M_{kr} -ra:

$$M_{kr} = 2,155 \frac{C + C_1 \pi^2 / l^2}{K_0 + 1,747t + 1,416 t^2 / f} \quad (21)$$

Két tag esetén viszont a következő másodfokú egyenletet kapjuk M_{kr} -ra:

$$aM_{kr}^2 + bM_{kr} + c = 0, \quad (22)$$

ahol az együtthatók a következők: ~

$$a = 5,145 K_0^2 + 12,36 \cdot K_0 t + 10,17 K_0 \frac{t^2}{f} + 1,6 t^2 + 1,441 \frac{t^3}{f}, \quad (23a)$$

$$b = - \left[24,29 \cdot K_0 C + 1042,7 K_0 \frac{C_1}{l^2} + \right. \\ \left. + 19,74 \cdot t C + 1597,5 t \frac{C_1}{l^2} + \right. \\ \left. + 14,58 \frac{t^2}{f} C + 1280,8 \frac{t^2}{f} \frac{C_1}{l^2} \right], \quad (23b)$$

$$c = 21,92 C^2 + 2163 C \frac{C_1}{l^2} + 19214 \frac{C_1^2}{l^4}. \quad (23c)$$

Néhány esetre kiszámítottuk a kritikus hajlítónyomatékot a (21) és a (22) képlettel, hogy megállapíthassuk mennyire tér el a kéttagú φ -vel számított kifordító nyomaték az egytagú φ -adta eredménytől. Azt találtuk, hogy az eltérés abban az esetben a legnagyobb, ha

$$a) \quad C_1 = t = 0.$$

Ekkor f tetszőleges lehet, mivel csak a t^2/f kifejezésben szerepel, de természetesen $f > 0$. Erre az esetre több φ -tagra is kiszámítottuk a kritikus nyomatékot és a következő eredményeket kaptuk:

1 tag:	$M_{kr} = 2,155 \frac{C}{K_0}$	(100%),
2 tag:	1,215	(56,5%),
3 tag:	1,096	(50,9%),
4 tag:	1,055	(49%),
5 tag:	1,037	(48,1%)

A figyelembe vett tagszám növekedésével tehát a kritikus hajlítónyomaték értéke ($C_1 = t = 0$ esetben) egyre jobban megközelíti a két végén erőpárral terhelt gerenda

$$M_{kr} = 1,0 \frac{C}{K_0}$$

kritikus hajlítónyomatékát, de ennél kisebb értéket nem vesz fel.

b) Ha $C_1 = 0, t = K_0/2, f = \infty$:

$$1 \text{ tag: } M_{kr} = 1,150 \frac{C}{K_0} \quad (100\%),$$

$$2 \text{ tag: } 0,954 \quad (83\%),$$

c) Ha $C_1/l^2 = C/100, t = 0, f = \text{tetszőleges}$:

$$1 \text{ tag: } M_{kr} = 2,368 \frac{C}{K_0} \quad (100\%),$$

$$2 \text{ tag: } 1,779 \quad (75\%),$$

d) Végül ha $C_1 = 0, t = K_0/2, f = K_0/2$:

$$1 \text{ tag: } M_{kr} = 0,8348 \frac{C}{K_0} \quad (100\%),$$

$$2 \text{ tag: } 0,7824 \quad (93,8\%).$$

A fenti adatokból bármely esetben tájékoztatást kaphatunk a kéttagú φ -függvény alapján számított M_{kr} (22) hibájáról.

Amint látjuk, az egy- és kéttagú φ -függvénynek megfelelő eredmények a három utolsó esetben lényegesen közelebb állnak egymáshoz, mint a legkedvezőtlenebb $C_1 = t = 0$ esetben, így várható, hogy a több φ -taggal kapható pontosabb eredménytől való eltérésük is sokkal kisebb. Mivel minden gyakorlati esetben $C_1 > 0$ és $t > 0$, a (22) képletet mindig kielégítően pontosnak tekinthetjük, mert hibája lényegesen kisebb a $C_1 = t = 0$ esetben kimutatható

$$\frac{1,215 - 1,037}{1,037} 100\% = 17,2\%$$

eltérésnél. (Az eltérés elsősorban akkor csökken, ha $t > 0$.) Nincs akadálya természetesen annak sem, hogy több tagot vegyünk figyelembe, s ennek megfelelően magasabbfokú egyenletből határozzuk meg az M_{kr} értéket.

Az egytagú φ -vel kapott (21) képlet pontatlan ugyan, de megvan az az előnye, hogy igen szemléletesen mutatja a különböző tényezők ($C, C_1/l^2, K_0, t, f$) egymáshoz viszonyított szerepét és nagyságrendjét.

4.2. A kifordító teher nagysága diafragmás tartóvégek esetében

Az elcsavarodásfüggvényt most a (14) peremfeltételnek megfelelő

$$\varphi = \sum_n \left(1 - \cos \frac{n\pi}{l} z \right), \quad n = 2, 4, 6, \dots \quad (24)$$

alakban vesszük fel (5b. ábra), mely ismét csak a szimmetrikus alakváltozásnak megfelelő tagokat tartalmazza. A *belső munka* (1) szerint így a következő alakban adódik:

$$L_b = \frac{C\pi^2}{4l} \sum_n n^2 \varphi_n^2 + \frac{C_1 \pi^4}{4l^3} \sum_n n^4 \varphi_n^2, \quad n = 2, 4, 6, \dots \quad (25)$$

A (9) összefüggés szerint:

$$v_Q = -t \cdot \sum_n \varphi_n, \quad n = 2, 4, 6, \dots, \quad (26)$$

és ezzel (12)-nek megfelelően a *külső munka*:

$$L_k = \frac{qK_0 l}{4} \left[\sum_n \varphi_n^2 \left(\frac{n^2 \pi^2}{12} + \frac{1}{4} \right) - 8 \sum_m \sum_n \varphi_m \varphi_n \frac{m^2 n^2}{(m^2 - n^2)^2} \right] + \frac{qtl}{4} \left[3 \sum_n \varphi_n^2 + 4 \sum_m \sum_n \varphi_m \varphi_n \right] + ql \frac{t^2}{2f} \left[\sum_n \varphi_n^2 + 2 \sum_m \sum_n \varphi_m \varphi_n \right]. \quad (27)$$

A minimalizálás után pedig a következő egyenletek adódnak minden n -re ($n = 2, 4, 6, \dots$):

$$\begin{aligned} & \varphi_n \left\{ \frac{n^2 \pi^2}{2} \left(C + C_1 \frac{n^2 \pi^2}{l^2} \right) - M \left[K_0 \left(\frac{n^2 \pi^2}{3} + 1 \right) + 12t + 8 \frac{t^2}{f} \right] \right\} + \\ & + 16 MK_0 \sum_m \frac{m^2 n^2}{(m^2 - n^2)^2} \varphi_m - 8Mt \left(1 + \frac{t}{f} \right) \sum_m \varphi_m = 0, \quad \begin{matrix} m = 2, 4, 6, \dots \\ m \neq n \end{matrix} \end{aligned} \quad (28)$$

Ha csak egy tagra szorítkozunk, akkor az

$$\begin{aligned} M_{kr} &= \frac{\pi^2}{8} \frac{C + C_1 \frac{4\pi^2}{l^2}}{K_0 \left(\frac{\pi^2}{12} + \frac{1}{16} \right) + \frac{3}{4} t + \frac{1}{2} \frac{t^2}{f}} = \\ &= 1,234 \frac{C + C_1 \frac{4\pi^2}{l^2}}{0,884K_0 + 0,75t + 0,5 \frac{t^2}{f}} \end{aligned} \quad (29)$$

kifejezést kapjuk. Két tag figyelembevétele esetén pedig a (22) másodfokú egyenlet adódik a következő együtthatókkal:

$$a = 1,772 K_0^2 + 2,318 K_0 t + 1,640 K_0 \frac{t^2}{f} + 0,200 t^2 + 0,160 \frac{t^3}{f}, \quad (30a)$$

$$b = - \left[5,442 K_0 C + 545,9 K_0 \frac{C_1}{l^2} + 2,961 t C + 397,4 t \frac{C_1}{l^2} + \right. \\ \left. + 1,974 \frac{t^2}{f} C + 265,0 \frac{t^2}{f} \frac{C_1}{l^2} \right], \quad (30b)$$

$$c = 3,896 C^2 + 769,1 C \frac{C_1}{l^2} + 24291 \frac{C_1^2}{l^4}. \quad (30c)$$

A pontosság ellenőrzése céljából ismét kiszámítottuk $C_1 = t = 0$ (f tetszőleges) esetre, több tagszámra, M_{kr} értékét. Az eredmények a következők:

- | | | |
|---------|--------------------------------|-----------|
| 1. tag: | $M_{kr} = 1,394 \frac{C}{K_0}$ | (100%), |
| 2. tag: | 1,137 | (81,5%), |
| 3. tag: | 1,071 | (77%), |
| 4. tag: | 1,044 | (75%), |
| 5. tag: | 1,029 | (73,8%). |

A figyelembe vett tagok számának növelésével tehát most is egyre jobban közelítjük meg a két végén erőpárral terhelt gerenda

$$M_{kr} = 1,0 \frac{C}{K_0}$$

kritikus hajlítónyomatékát, ugyanúgy, mint a szabad végű gerenda esetében. A végdiafragmák a $C_1 = 0$ feltevés következtében ugyanis nem merevítik a gerendát. Az a tény, hogy a végdiafragmás gerenda ugyanolyan tagszám esetén kisebb kritikus nyomatékot ad a szabadvégűnél, csupán a jobb konvergenciát mutatja s nem következik belőle, hogy a diafragmás gerenda gyengébb a szabadvégűnél.

Ebből az összeállításból kitűnik, hogy a $C_1 = t = 0$ esetben a diafragmás végű gerenda kritikus hajlítónyomatékát — ugyanannyi figyelembe vett tagszám esetén — lényegesen pontosabban kapjuk meg, mint a szabadvégű gerendáét.

A végdiafragmák a $C_1 > 0$ és $t > 0$ esetben természetesen növelik a kritikus nyomatókat a szabadvégű gerendához képest, de — mint a szám-példából is láthatjuk — általában elég kismértékben.

A valóságban alkalmazott diafragmák *nem végtelen merevek* hajlításra, így merevítő hatásuk is valamivel kisebb, mint a számításba vett végtelen merev diafragmáké. Minthogy azonban a diafragmák merevítő hatása amúgyis kicsi, véleményünk szerint nem érdemes ezt a különbséget figyelembe venni.

4.3. Megjegyzések

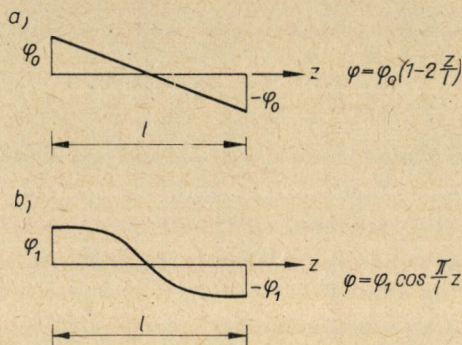
Változó hajlítónyomaték esetére úgy írtuk fel a külső munka (6) képletét, hogy az állandó nyomatékra levezetett (2) kifejezésben a nyomatékat bevittük az integráljel alá. Ezzel azonban csak a z-irányú σ_z -feszültségek munkáját vettük helyesen figyelembe, a változó nyomaték esetén mindig keletkező τ nyírófeszültségek, valamint a teher helyzetétől függő keresztirányú σ_y -feszültségek (pontosabban: a keresztmetszet érintője irányában működő keresztirányú σ -feszültségek) munkáját azonban még nem. Márpedig a felület-szerkezetek stabilitásvizsgálatára szolgáló energia-kifejezésekben [10] a σ_z munkáján felül még a τ és σ_y munkáját is figyelembe kell vennünk a külső munka végzésekor. Mi ehelyett a tehersüllyedés L_k'' (7) munkáját írtuk fel. Ki kell tehát mutatnunk, hogy ez megegyezik τ és σ_y munkájával.

Ezt a vizsgálatot az egyenletes teherrel terhelt, villásan megtámasztott ($f = \infty$) diafragma nélküli V-keresztmetszetű gerendán végeztük el. Felírtuk a külső munkákat egyrészt az itt bemutatott (6) és (7) képletekkel, másrészt a lemezelmélet [10] egyenleteivel, a két félgerendát egy-egy síklemeznek számítva. Feltételeztük, hogy a nyírásközépponti tengely (a V-keresztmetszetek alsó csúcspontjait összekötő vonal) egyenes marad, azaz $B_x = \infty$, s az összehasonlítás egyszerűbbé tétele érdekében a (15) sorból csak az első tagot vettük figyelembe. Kétféle teherhelyzetet vizsgáltunk: először a nyírásközéppontban ható teher esetét ($t = 0$), majd az önsúly hatását, ami a lemezelmélet szerint a lemez felületén egyenletesen elosztott terhet jelent, s eredője a keresztmetszet magasságának felében hat ($t = d/2$).

A lemezelmélet szerinti számítást itt nem részletezzük; eredménye azonban mindkét esetben teljesen megegyezett az itt bemutatott számításmód eredményeivel. A nyírófeszültségek mindkét esetben ugyanakkora pozitív külső munkát szolgáltattak, de ez a nyírásközéppontban ható teher esetén éppen egyenlő a keresztirányú σ -feszültségek negatív munkájával, s így kiesik. Önsúlyteher esetében pedig az ennek megfelelően megváltozott keresztirányú σ -feszültségek még egy akkora pozitív többletmunkát szolgáltattak, amely pontosan egyenlő a (7) kifejezéssel.

Ezzel kimutattuk, hogy a dolgozatunkban bemutatott módszer helyes és egyszerűbb úton ugyanazokat az eredményeket adja, mint a lemezmélet munkaegyenletei.

Fenti eredményünkkel összhangban van az a tény is, hogy ha $f = \infty$, vagyis ha a megtámasztás „villás”, akkor a külső és a belső munkára a 2. pontban levezetett kifejezéseink — némi átalakítás után — megegyeznek CHWALLA [3] eredményével.



6. ábra

5. Megoldás antimetrikus alakváltozás esetében

Röviden megvizsgáljuk még mind szabad, mind diafragmás gerendavég esetében a szóbajóhető *antimetrikus alakváltozást*, s összehasonlítjuk az ennek megfelelő kritikus terhet a szimmetrikus alakváltozás alapján korábban levezetett kritikus teherrel. Az egyszerűség kedvéért csak *egytagú* elcsavarodásfüggvényt fogunk felvenni, s feltételezzük, hogy *többtagú* elcsavarodásfüggvények esetén ugyanilyen, vagy hasonló arányok állnak fenn az antimetrikus és a szimmetrikus alakváltozás kritikus terhei között.

5.1. Szabadvégű gerenda esete

A legegyszerűbb antimetrikus elcsavarodást a 6a ábra mutatja. Ebből a 4.1. pontban leírt módon a kritikus hajlítónyomatékra a következő kifejezést kapjuk:

$$M_{kr}^{\text{antimetr.}} = 3 \frac{C}{K_0 + 2t - 6f} \quad (31)$$

Az F felfüggesztési pont körüli elfordulásból származó L_k''' munkarész most

negatív, mivel a két véglap, ellenkező elfordulása következtében,

$$f(1 - \cos \varphi_0) \approx f \frac{\varphi_0^2}{2}$$

mértékkel kénytelen emelkedni.

Az egytagú szimmetrikus elcsavarodásfüggvényből kapott (21) kifejezéssel való összehasonlítás azt adta, hogy az antimetrikus alakváltozás kritikus terhe csak *negatív* f -ek esetén lehet kisebb a (21) kifejezésnél, ez viszont a teher támadáspontja alatti felfüggesztést jelent, ami amúgy sem fordul elő. Így szabadvégű gerendák kritikus terhét mindig a szimmetrikus alakváltozás alapján levezetett képletekkel kell számítanunk.

5.2. Diafragmás végű gerenda esete

A gerenda alakváltozását a 6b ábra szerint véve fel, az

$$M_{kr}^{\text{antimetr.}} = \frac{\pi^2}{8} \cdot \frac{C + C_1 \frac{\pi^2}{l^2}}{K_0 \left(\frac{\pi^2}{12} + \frac{1}{4} \right) + t - 2f} \quad (32)$$

kritikus nyomaték adódik, az előző esethez hasonlóan most is negatív L_k''' -vel és $f \cdot \varphi_0^2/2$ teheremelkedéssel. A könnyebb összehasonlítás kedvéért (32)-t és a megfelelő egytagú szimmetrikus alakváltozáshoz tartozó (29)-et a következő alakba írjuk:

$$M_{kr}^{\text{szimetr.}} = 1,234 \frac{1 + 4\pi^2 \left(\frac{C_1}{Cl^2} \right)}{0,884 + 0,75 \left(\frac{t}{K_0} \right) + 0,5 \frac{(t/K_0)^2}{(f/K_0)}} \frac{C}{K_0}, \quad (33a)$$

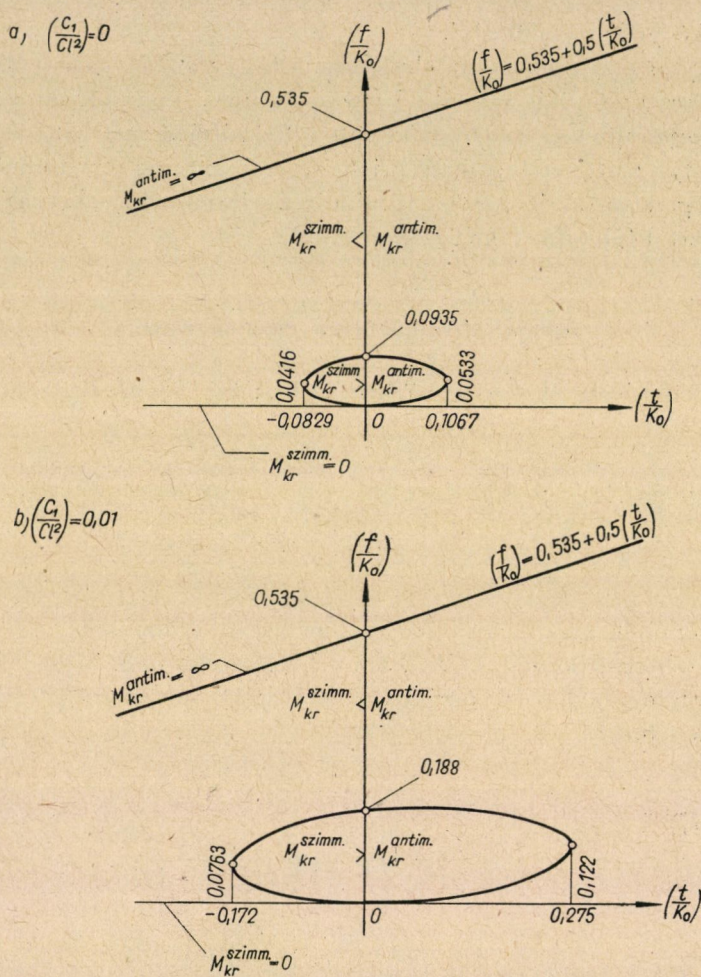
$$M_{kr}^{\text{antimetr.}} = 1,234 \frac{1 + \pi^2 \left(\frac{C_1}{Cl^2} \right)}{1,071 + \left(\frac{t}{K_0} \right) - 2 \left(\frac{f}{K_0} \right)} \frac{C}{K_0}. \quad (33b)$$

Az összehasonlítást $C_1/(Cl^2)$ -nek a gyakorlatban előforduló két szélső esetére, 0-ra és 0,01-re végeztük el. Az eredményt a 7a–b ábrán tüntettük fel.

Az $f/K_0, t/K_0$ koordinátarendszerben ábrázolt ellipszis mentén $M_{kr}^{\text{szimetr.}} = M_{kr}^{\text{antimetr.}}$. Az ellipszis belsejében az antimetrikus kihajlási alak, kívülé

pedig — a pozitív f -ek tartományára szorítkozva — a szimmetrikus kihajlási alak ad kisebb kritikus nyomatékot.

Az eredményt gyakorlatilag könnyen felhasználható alakban a 8. ábrán tüntettük fel: itt (C_1/Cl^2) függvényében ábrázoltuk (f/K_0) -nak azokat az érté-



7. ábra

keit, amelyek felett mindig a szimmetrikus kihajlási alak a mértékadó. A $C_1/Cl^2 = 0$ és $0,01$ esetekhez tartozó értékeket az egyszerűség kedvéért egyenessel kötöttük össze. Ha (f/K_0) egy adott esetben a vonal alá esnék (ami gyakorlatilag csak kivételes esetben fordulhat elő), akkor meg kell vizsgálni a 7. ábra ellipsziseit, ill. az antimetrikus alakváltozáshoz tartozó kritikus nyomatékot.

6. Számpélda

Ellenőrizzük a 9. ábrán vázolt vékonyfalú gerenda oldalirányú stabilitását beemelés közben és elhelyezés után, mégpedig először szabadvéget, utána diafragmás véget feltételezve. A keresztmetszet jellemző adatait a 2. és 3b ábrák szerint számítjuk.

$$e = t = +39,5 \text{ cm},$$

$$j_x = 0,$$

$$j_y = -0,812,$$

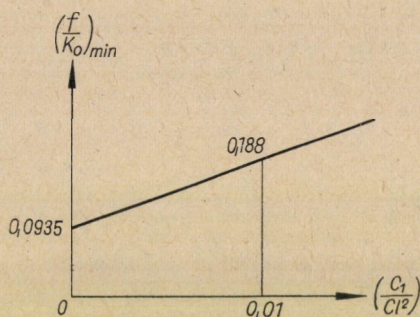
$$f = 130 \text{ cm},$$

$$K_0 = 2e - j_x^0 d - j_y^0 \frac{b^2}{d} = 79 + 0 + 0,812 \cdot 143^2 / 65 = 335 \text{ cm},$$

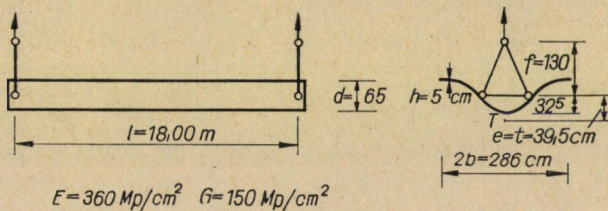
$$C = GI_t = 150 \cdot 5^3 \cdot 286 / 3 = 1,79 \cdot 10^6 \text{ Mp cm}^2,$$

$$C_1 = EI_\omega = 360 \cdot 0,001596 \cdot 5 \cdot 65^2 \cdot 143^3 = 3,54 \cdot 10^{10} \text{ Mp cm}^4,$$

$$C_1/l^2 = 3,54 \cdot 10^{10} / 1800^2 = 1,09 \cdot 10^4 \text{ Mp cm}^2.$$



8. ábra



9. ábra

6.1. Szabadvégű gerenda

6.11. Ellenőrzés felfüggesztett tartóvégek esetében

A másodfokú egyenlet együtthatói:

$$(23a): a = 785,5 \cdot 10^4 \text{ cm}^2$$

$$(23b): b = -2094 \cdot 10^8 \text{ Mp cm}^3,$$

$$(23c): c = 1145,9 \cdot 10^{12} \text{ Mp}^2 \text{ cm}^4,$$

$$(22): M_{kr}^{\text{kéttagú}} = 77,0 \text{ Mpm},$$

az egytagú (21) képlettel pedig

$$M_{kr}^{\text{egytagú}} = 97,0 \text{ Mpm}$$

adódik.

Kiszámítottuk még háromtagú φ felvételével is a kritikus nyomatékot:

$$M_{kr}^{\text{háromtagú}} = 76,1 \text{ Mpm.}$$

Ha az egytagú eredményt 100%-nak tekintjük, akkor a két- és háromtagú 79,5% ill. 78,5%. Ezt a 4.1. pontban közölt %-értékekkel összehasonlítva megállapíthatjuk, hogy a konvergencia ebben az esetben lényegesen jobb a $C_1 = t = 0$ esetre kimutatott konvergenciánál, amit a két és három tag eredményének összehasonlítása is bizonyít. A kéttagú eredmény hibája a háromtagúéhoz képest esetünkben csak 1,26%.

Összehasonlításként kiszámítjuk még a két végén erőpárral terhelt rúd kritikus nyomatékát, valamint a derékszögű négyszögkeresztmetszetű felfüggesztett gerendára érvényes képletszolgáltatotta kritikus hajlítónyomatékot is, hogy lássuk, mekkora hibát követnénk el, ha ezeket a képleteket használnánk.

A végein erőpárral terhelt gerenda esetében [10], [5]:

$$M_{kr}^{\text{konst}} = \frac{C + C_1 \frac{\pi^2}{l^2}}{K_0} = \frac{(1,79 + 0,0109 \cdot 9,87) 10^6}{335} = 56,6 \text{ Mpm.}$$

(Ez a képlet természetesen nem veszi figyelembe sem a felfüggesztés tényét, sem azt, hogy a teher a nyírasközéppont felett hat.)

A derékszögű négyszögkeresztmetszetre érvényes harmadfokú egyenlettel [4]:

$$M_{kr}^{\text{négyyszög}} = 1420,0 \text{ Mpm.}$$

(Ez a képlet viszont a keresztmetszet vékonyfalú voltát hagyja figyelmen kívül, valamint azt, hogy a nyírasközéppont kiesik a súlypontból.)

6.12. Összehasonlításképpen kiszámítjuk a kifordító nyomatékot a gerenda elhelyezése után is, oldalirányban csuklós megtámasztást feltételezve. A képletekben így $f = \infty$ -t kell helyettesítenünk:

$$(23a): a' = 743,9 \cdot 10^4 \text{ cm}^2,$$

$$(23b): b' = -2046,3 \cdot 10^8 \text{ Mp cm}^3,$$

$$(23c): c' = 1145,9 \cdot 10^{12} \text{ Mp}^2 \text{ cm}^4,$$

$$(22): M_{kr} = 78,0 \text{ Mpm,}$$

azaz csak 1,3%-kal több, mint felfüggesztett állapotban.

6.2. Diafragmás végű felfüggesztett gerenda

A másodfokú egyenlet együtthatói:

$$(30a): a = 94,5 \cdot 10^6 \text{ cm}^2,$$

$$(30b): b = -2285 \cdot 10^9 \text{ Mpcm}^3,$$

$$(30c): c = 12145 \cdot 10^{12} \text{ Mp}^2 \text{ cm}^4,$$

$$(22): M_{kr}^{\text{d'af.r.}} = 79,1 \text{ Mpm,}$$

ami alig nagyobb a szabadvégű gerenda kritikus nyomatékánál. Amint látjuk tehát, a végdiafragma csak igen kismértékben növeli a gerenda stabilitását. Ha pedig figyelembe vesszük, hogy a végdiafragma nem végtelen merev, akkor a szabad- és a diafragmás vég eredményének számtani közepét véve

$$M_{kr}^{\text{átl}} = \frac{77 + 79,1}{2} = 78,55 \text{ Mpm}$$

adódik, ami csak 2%-kal több a szabadvégű gerendáénál.

IRODALOM

1. BLEICH, F.: Buckling Strength of Metal Structures. McGraw-Hill, New York 1952.
2. BÜRGERMEISTER, G.—STEUP, H.: Stabilitätstheorie. Akademie-Verlag, Berlin 1957.
3. CHWALLA, E.: Kippung von Trägern mit einfachsymmetrischen, dünnwandigen und offenen Querschnitten. *Sitzungsberichte der Akademie der Wissenschaften in Wien. Abt. II. a.* 153 (1944), 1—10.
4. CSONKA, P.: Die Stabilität der an ihren Enden aufgehängten prismatischen Stäbe von rechteckigem Querschnitt. *Acta Techn. Hung.* 8 (1954), 79—90.
Magyarul: A végein felfüggesztett négyszögkeresztmetszetű rúd stabilitása. *VI. Oszt. Közl.* 9 (1953), 437—447.
5. KOLLÁR, L.: Lateral Buckling of Thin-walled Curved Bars (Shell-Arches). *Acta Techn. Hung.* 5 (1964), 297—314.
Magyarul: Hajlított, vékonyfalú görbe rudak (hég-ívek) kifordulása. *Építés- és Közl. Tud. Közl.* (1963), 143—157.
6. KOLLÁR, L.—IVÁNYI, GY.: Kippen und Biegedrillknicken von Schalenbogen mit Hilfe der Energiemethode. *Bautechnik-Archiv.* (Megjelenés alatt.)
7. LEBELLE, P.: Stabilité élastique des poutres en béton précontraint à l'égard du déversement latéral. *Annales de l'Inst. T. B. T. P.* 12 (1959); No. 141, (780—831.) Série: Béton précontraint (32).
8. LUNDGREN, H.: Cylindrical Shells, Vol. I. The Danish Technical Press, Copenhagen 1951.
9. MEISSNER, F.: Einige Auswertungsergebnisse der Kipptheorie einfach-symmetrisches Balkenträger. *Der Stahlbau*, 24 (1955), 110—113.
10. TIMOSHENKO, S.—GERE, J.: Theory of Elastic Stability: 2nd Ed. McGraw-Hill, New York 1961.